

УДК 539.3

## УПРУГОЕ РАВНОВЕСИЕ ТЯЖЁЛОЙ ТРАНСВЕРСАЛЬНО-ИЗОТРОПНОЙ ТОЛСТОСТЕННОЙ СФЕРЫ С ЖЁСТКО ЗАКРЕПЛЕННОЙ ВНУТРЕННЕЙ ПОВЕРХНОСТЬЮ

*А. В. Зайцев, А. А. Фукалов*

Пермский государственный технический университет  
(национальный исследовательский университет),  
614990 Пермь, Комсомольский пр-т, 29.

E-mails: zav@pstu.ru

*С использованием разложения компонент вектора перемещений по окружной и радиальной координатам в тригонометрические и обобщенные степенные ряды получено новое точное аналитическое решение задачи о равновесии толстостенного полого тяжёлого трансверсально-изотропного тела с центральной симметрией, жёстко скрепленного по внутреннему контуру и находящегося под действием равномерного внешнего давления. Из полученного решения в частном случае следуют выражения для напряжений, деформаций и перемещений в точках полой тяжёлой изотропной сферы. В качестве примера на основе многокритериального подхода, описывающего различные реальные механизмы разрушения анизотропных тел с центральной симметрией, проведена оценка начальной прочности монолитной железобетонной сферы.*

**Ключевые слова:** толстостенные тяжёлые упругие трансверсально-изотропные сферы, точные аналитические решения, многокритериальная оценка начальной прочности.

**Введение.** Конструкции и сооружения в виде массивных толстостенных сфер, изготавливаемых из анизотропных материалов, находят широкое применение в различных отраслях промышленности, строительстве, геологии, на предприятиях нефтегазохимического комплексов. Наиболее распространёнными видами нагрузки этих объектов являются статическое внешнее и/или внутреннее давление и собственный вес.

Проблема исследования напряжённо-деформированного состояния анизотропных массивных центрально-симметричных тел от действия собственного веса недостаточно изучена: в отечественной и зарубежной литературе практически отсутствуют монографии и статьи, посвященные этой проблеме. Вместе с тем этот вопрос не нов, и решение частных задач по оценке влияния гравитационных сил на характер распределения напряжений и деформаций в изотропных массивных полых толстостенных центрально-симметричных телах содержится в ограниченном числе работ [1–3]. Поэтому важными и актуальными являются задачи получения новых точных аналитических решений о равновесии жёстко закрепленных по внутренней поверхности тяжёлых толстостенных анизотропных упругих тел с центральной симметрией, находящихся под действием равномерно распределенного внешнего давления, и разработка на основе этих решений инженерных методов уточненного прочностного анализа. Кроме того, получение аналитических зависимостей важно еще и для тестирования численных алгоритмов решения более сложных

---

*Зайцев Алексей Вячеславович* (к.ф.-м.н., доцент), докторант, каф. механики композиционных материалов и конструкций. *Фукалов Антон Александрович*, магистрант, каф. механики композиционных материалов и конструкций.

задач, в которых отдельные элементы конструкций и сооружений имеют аналогичную геометрию и граничные условия, а также для отработки методик эксперимента с тяжёлыми телами простейшей геометрии.

**1. Тяжёлая трансверсально-изотропная сфера.** Рассмотрим задачу о равновесии толстостенного линейно-упругого трансверсально-изотропного тяжёлого сферического тела, ограниченного поверхностями радиусов  $\rho_1$  и  $\rho_2$  ( $\rho_1 < \rho_2$ ) и находящегося под действием нагрузки, симметричной относительно вертикальной оси, проходящей через геометрический центр, в который поместим начало сферической ортогональной системы координат  $\rho$ ,  $\theta$  и  $\varphi$ . Будем считать, что материал сферы однородный, сферически трансверсально-изотропный относительно любого радиус-вектора, проведенного из центра тела в рассматриваемую точку. Радиальные и меридиональные перемещения ( $u_\rho$  и  $u_\theta$ ), радиальные ( $\sigma_{\rho\rho}$  и  $\varepsilon_{\rho\rho}$ ), окружные ( $\sigma_{\varphi\varphi}$  и  $\varepsilon_{\varphi\varphi}$ ), меридиональные ( $\sigma_{\theta\theta}$  и  $\varepsilon_{\theta\theta}$ ) нормальные напряжения и осевые деформации, а также касательные напряжения  $\tau_{\rho\theta}$  и сдвиговые деформации  $\gamma_{\rho\theta}$  в силу симметрии тела и приложенной внешней нагрузки не зависят от окружной координаты и удовлетворяют геометрическим соотношениям Коши:

$$\begin{aligned} \varepsilon_{\rho\rho} &= \frac{\partial u_\rho}{\partial \rho}, & \varepsilon_{\theta\theta} &= \frac{1}{\rho} \frac{\partial u_\theta}{\partial \theta} + \frac{u_\rho}{\rho}, & \varepsilon_{\varphi\varphi} &= \frac{u_\theta}{\rho} \operatorname{ctg} \theta + \frac{u_\rho}{\rho}, \\ \gamma_{\rho\theta} &= \frac{1}{\rho} \frac{\partial u_\rho}{\partial \theta} + \frac{\partial u_\theta}{\partial \rho} - \frac{u_\theta}{\rho} \end{aligned} \quad (1)$$

и уравнениям равновесия:

$$\begin{aligned} \frac{\partial \sigma_{\rho\rho}}{\partial \rho} + \frac{1}{\rho} \frac{\partial \tau_{\rho\theta}}{\partial \theta} + \frac{1}{\rho} (2\sigma_{\rho\rho} - \sigma_{\varphi\varphi} - \sigma_{\theta\theta} + \tau_{\rho\theta} \operatorname{ctg} \theta) + F_\rho &= 0, \\ \frac{\partial \tau_{\rho\theta}}{\partial \rho} + \frac{1}{\rho} \frac{\partial \sigma_{\theta\theta}}{\partial \theta} + \frac{1}{\rho} [(\sigma_{\theta\theta} - \sigma_{\varphi\varphi}) \operatorname{ctg} \theta + 3\tau_{\rho\theta}] + F_\theta &= 0. \end{aligned} \quad (2)$$

Здесь  $F_\rho = -\gamma \cos \theta$  и  $F_\theta = \gamma \sin \theta$  — компоненты вектора массовых сил,  $\gamma$  — удельный вес материала.

Определяющие соотношения

$$\begin{aligned} \sigma_{\rho\rho} &= A_{11}\varepsilon_{\rho\rho} + A_{12}(\varepsilon_{\varphi\varphi} + \varepsilon_{\theta\theta}), & \sigma_{\varphi\varphi} &= A_{12}\varepsilon_{\rho\rho} + A_{22}\varepsilon_{\varphi\varphi} + A_{23}\varepsilon_{\theta\theta}, \\ \sigma_{\theta\theta} &= A_{12}\varepsilon_{\rho\rho} + A_{23}\varepsilon_{\varphi\varphi} + A_{22}\varepsilon_{\theta\theta}, & \tau_{\rho\theta} &= A_{44}\gamma_{\rho\theta} \end{aligned} \quad (3)$$

для сферически трансверсально-изотропного тяжёлого тела можно записать с помощью технических постоянных:

$$\begin{aligned} A_{11} &= \frac{\hat{E}(1-\nu)}{m}, & A_{12} &= \frac{E\hat{\nu}}{m}, & A_{22} &= \frac{E}{(1+\nu)m} \left(1 - \hat{\nu}^2 \frac{E}{\hat{E}}\right), \\ A_{23} &= \frac{E}{(1+\nu)m} \left(\nu + \hat{\nu}^2 \frac{E}{\hat{E}}\right), & A_{44} &= \hat{G}, & m &= 1 - \nu - 2\hat{\nu}^2 \frac{E}{\hat{E}}. \end{aligned}$$

Здесь  $\hat{E}$  и  $E$  — модули Юнга вдоль координаты  $\rho$  и в ортогональном к ней направлении;  $\hat{G}$  — модуль сдвига для диаметральной плоскости;  $\hat{\nu}$  и  $\nu$  — коэффициенты Пуассона, характеризующие сокращение тела в направлениях  $\theta$

и  $\varphi$  при растяжении вдоль радиальной координаты  $\rho$ , и поперечные деформации в плоскости, нормальной радиус-вектору  $\rho$ , при растяжении в той же самой плоскости соответственно.

Пусть толстостенная сфера жёстко закреплена по внутренней поверхности и находится в равновесии под действием внешнего равномерного давления  $p$ . Тогда для рассматриваемого случая граничные условия запишем следующим образом:

$$u_\rho|_{\rho=\rho_1} = 0, \quad u_\theta|_{\rho=\rho_1} = 0, \quad \sigma_{\rho\rho}|_{\rho=\rho_2} = -p, \quad \tau_{\rho\theta}|_{\rho=\rho_2} = 0. \quad (4)$$

Для любых граничных условий, не нарушающих осевой симметрии задачи, решение системы дифференциальных уравнений в частных производных:

$$\begin{aligned} \gamma \cos \theta &= A_{11} \frac{\partial^2 u_\rho}{\partial \rho^2} + \frac{1}{\rho} \left[ 2A_{11} \frac{\partial u_\rho}{\partial \rho} + H_3 \left( \frac{\partial^2 u_\theta}{\partial \rho \partial \theta} + \frac{\partial u_\theta}{\partial \rho} \operatorname{ctg} \theta \right) \right] + \\ &+ \frac{1}{\rho^2} \left[ A_{44} \left( \frac{\partial^2 u_\rho}{\partial \theta^2} + \frac{\partial u_\rho}{\partial \theta} \operatorname{ctg} \theta \right) + (H_1 - A_{44}) \left( \frac{\partial u_\theta}{\partial \theta} + u_\theta \operatorname{ctg} \theta \right) + 2H_1 u_\rho \right], \\ -\gamma \sin \theta &= A_{44} \frac{\partial^2 u_\theta}{\partial \rho^2} + \frac{1}{\rho} \left[ 2A_{44} \frac{\partial u_\theta}{\partial \rho} + H_3 \frac{\partial^2 u_\rho}{\partial \rho \partial \theta} \right] + \\ &+ \frac{1}{\rho^2} \left\{ A_{22} \left[ \frac{\partial}{\partial \theta} \left( \frac{\partial u_\theta}{\partial \theta} + u_\rho \right) + \left( \frac{\partial u_\theta}{\partial \theta} + u_\theta \operatorname{ctg} \theta \right) \operatorname{ctg} \theta \right] + H_2 \left( \frac{\partial u_\rho}{\partial \theta} - u_\theta \right) \right\}, \end{aligned} \quad (5)$$

полученных путем последовательной подстановки геометрических соотношений (1) в определяющие соотношения (3), а затем полученного результата — в уравнения равновесия (2), можно представить в виде тригонометрических рядов [1–3]:

$$u_\rho = \sum_{n=0}^{\infty} u_\rho^{(n)}(\rho) \cos n\theta, \quad u_\theta = \sum_{n=0}^{\infty} u_\theta^{(n)}(\rho) \sin n\theta. \quad (6)$$

Здесь  $H_1 = A_{12} - H_4$ ,  $H_2 = A_{23} + 2A_{44}$ ,  $H_3 = A_{12} + A_{44}$  и  $H_4 = A_{22} + A_{23}$ .

Подставляя выражения (6) в систему (5) и приравнявая коэффициенты при соответствующих функциях аргумента  $\theta$ , получим  $n$  систем обыкновенных дифференциальных уравнений:

$$\begin{aligned} a_1^{(n)} u_\rho''^{(n)} + \frac{1}{\rho} \left( a_2^{(n)} u_\rho'^{(n)} + a_3^{(n)} u_\theta'^{(n)} \right) + \frac{1}{\rho^2} \left( a_4^{(n)} u_\rho^{(n)} + a_5^{(n)} u_\theta^{(n)} \right) &= A^{(n)}, \\ b_1^{(n)} u_\theta''^{(n)} + \frac{1}{\rho} \left( b_2^{(n)} u_\theta'^{(n)} + b_3^{(n)} u_\rho'^{(n)} \right) + \frac{1}{\rho^2} \left( b_4^{(n)} u_\rho^{(n)} + b_5^{(n)} u_\theta^{(n)} \right) &= B^{(n)}, \end{aligned} \quad (7)$$

где

$$\begin{aligned} a_1^{(n)} &= \frac{1}{2} a_2^{(n)} = A_{11}, \quad a_3^{(n)} = H_3 H_5, \quad a_4^{(n)} = 2H_1 - nA_{44}H_5, \\ a_5^{(n)} &= H_5(H_1 - A_{44}), \quad b_1^{(n)} = \frac{1}{2} b_2^{(n)} = A_{44}, \quad b_3^{(n)} = -H_3 n, \\ b_4^{(n)} &= -n(A_{22} + H_2), \quad b_5^{(n)} = -H_2 - A_{22} [n(n - \operatorname{ctg} \theta \operatorname{ctg} n\theta) + \operatorname{ctg}^2 \theta], \end{aligned}$$

$$H_5 = n + \operatorname{ctg} \theta \operatorname{tg} n\theta,$$

$$A^{(n)} = \begin{cases} \gamma, & n = 1; \\ 0, & n = 0, n > 1; \end{cases} \quad B^{(n)} = \begin{cases} -\gamma, & n = 1; \\ 0, & n = 0, n > 1. \end{cases}$$

Эти системы для каждого  $n$  должны быть дополнены граничными условиями, которые получаются разложением заданных на поверхностях тела перемещений, напряжений или их комбинаций в тригонометрические ряды по меридиональной координате  $\theta$ . Поэтому вычисление перемещений, деформаций и напряжений связано с решением  $n$  самостоятельных задач.

Итак, при  $n = 0$  система дифференциальных уравнений (7) значительно упрощается, а ее общее решение выглядит следующим образом:

$$u_\theta^{(0)} \equiv 0, \quad u_\rho^{(0)} = C_1^{(0)} \rho^{-1/2-k} + C_2^{(0)} \rho^{-1/2+k},$$

где  $k = \sqrt{1/4 - 2H_1/A_{11}}$  — показатель анизотропии, а  $C_1^{(0)}$  и  $C_2^{(0)}$  — константы интегрирования.

При  $n = 1$  будем иметь неоднородную систему дифференциальных уравнений (7), решение которой можно представить суперпозицией общих решений  $\hat{u}_\rho^{(1)}$  и  $\hat{u}_\theta^{(1)}$  и любых частных решений  $\tilde{u}_\rho^{(1)}$  и  $\tilde{u}_\theta^{(1)}$  соответствующих однородной и неоднородной систем. Последние, например, определим в виде:

$$\tilde{u}_\rho^{(1)} = H_\rho \rho^2, \quad \tilde{u}_\theta^{(1)} = H_\theta \rho^2,$$

$$H_\rho = \gamma H_6 (H_4 - 2H_3), \quad H_\theta = \gamma H_6 [2(A_{11} - A_{44}) - H_4],$$

$$H_6 = \frac{1}{2} [A_{11} (H_4 - 4A_{44}) + 2A_{44} (H_4 - 3A_{12}) - 2A_{12}^2]^{-1}.$$

Общее решение однородной системы будем искать в форме обобщенных степенных рядов

$$\hat{u}_\rho^{(1)} = \sum_{i=0}^{\infty} d_i^{(1)} \rho^{i+z}, \quad \hat{u}_\theta^{(1)} = \sum_{i=0}^{\infty} c_i^{(1)} \rho^{i+z}$$

с характеристическими числами

$$z_1 = -i, \quad z_2 = -i - 1, \quad z_3 = -i - \frac{1}{2} - t, \quad z_4 = -i - \frac{1}{2} + t,$$

где  $t = \sqrt{9/4 + [(A_{11} + 2A_{44})H_4 - 2A_{12}(H_4 + 2A_{44})]/(A_{11}A_{44})}$  — показатель анизотропии для центрально-симметричного тела, находящегося под действием равномерно распределенной вертикальной осесимметричной нагрузки. Обратим внимание на то, что в отличие от показателя  $k$  для центрально-симметричного тела, находящегося под действием центрально-симметричной нагрузки,  $t$  зависит от модуля сдвига для диаметральной плоскости. Эта зависимость является следствием появления сдвиговых деформаций, которые отсутствуют в случае, когда и нагрузка, и само тело обладают центральной симметрией.

При  $n > 1$  системы дифференциальных уравнений (7) являются однородными, а их решения также находятся в виде степенных рядов. В рассматриваемом случае для любого  $n$  четыре характеристических числа  $z_j^{(n)}$  ( $j \in \{1, 2, 3, 4\}$ ) являются корнями нелинейного уравнения четвертой степени

$$\begin{aligned} \left[ \omega + \beta_2^{(n)}(i+z) + \beta_3^{(n)} \right] \left[ \omega + \alpha_2^{(n)}(i+z) + \alpha_3^{(n)} \right] = \\ = \left[ \alpha_4^{(n)}(i+z) + \alpha_5^{(n)} \right] \left[ \beta_4^{(n)}(i+z) + \beta_5^{(n)} \right], \end{aligned}$$

где  $\omega = (i+z)(i+z-1)$ .

По известным  $z_j^{(n)}$  и  $c_1^{(n)} = c_2^{(n)} = c_3^{(n)} = c_4^{(n)} = 1$  коэффициенты  $d_j^{(n)}$  могут быть определены следующим образом:

$$\begin{aligned} d_j^{(n)} &= \frac{\lambda_j^{(n)}(\lambda_j^{(n)} - 1 + \beta_2^{(n)} - \alpha_4^{(n)}) - \alpha_5^{(n)} + \beta_3^{(n)}}{\lambda_j^{(n)}(\lambda_j^{(n)} - 1 + \alpha_2^{(n)} - \beta_4^{(n)}) + \alpha_3^{(n)} - \beta_5^{(n)}}, \\ \alpha_j^{(n)} &= \frac{a_j^{(n)}}{a_1^{(n)}}, \quad \beta_j^{(n)} = \frac{b_j^{(n)}}{b_1^{(n)}}, \quad \lambda_j^{(n)} = i + z_j^{(n)}. \end{aligned}$$

Тогда общее решение системы (7) записывается так:

$$\begin{aligned} u_\rho^{(n)} &= d_1^{(n)} C_1^{(n)} \rho^{\lambda_1^{(n)}} + d_2^{(n)} C_2^{(n)} \rho^{\lambda_2^{(n)}} + d_3^{(n)} C_3^{(n)} \rho^{\lambda_3^{(n)}} + d_4^{(n)} C_4^{(n)} \rho^{\lambda_4^{(n)}}, \\ u_\theta^{(n)} &= C_1^{(n)} \rho^{\lambda_1^{(n)}} + C_2^{(n)} \rho^{\lambda_2^{(n)}} + C_3^{(n)} \rho^{\lambda_3^{(n)}} + C_4^{(n)} \rho^{\lambda_4^{(n)}}, \end{aligned}$$

а постоянные интегрирования  $C_1^{(n)}$ ,  $C_2^{(n)}$ ,  $C_3^{(n)}$  и  $C_4^{(n)}$  для каждого  $n$  определяются из граничных условий (4). Однако при разложении заданных на поверхностях тела перемещений и напряжений (4) в тригонометрические ряды по меридиональной координате  $\theta$  получим при  $n > 1$  однородные системы дифференциальных уравнений с однородными граничными условиями. Все эти системы имеют единственное тривиальное решение:  $u_\rho^{(n)} = 0$  и  $u_\theta^{(n)} = 0$ .

Таким образом, общее решение системы (5) запишем в виде

$$\begin{aligned} u_\rho &= C_1^{(0)} \rho^{-1/2-k} + C_2^{(0)} \rho^{-1/2+k} + \\ &+ \left( d_1 C_1^{(1)} + \frac{1}{\rho} d_2 C_2^{(1)} + d_3 C_3^{(1)} \rho^{-1/2+t} + d_4 C_4^{(1)} \rho^{-1/2-t} + H_\rho \rho^2 \right) \cos \theta, \quad (8) \\ u_\theta &= \left( C_1^{(1)} + \frac{1}{\rho} C_2^{(1)} + C_3^{(1)} \rho^{-1/2+t} + C_4^{(1)} \rho^{-1/2-t} + H_\theta \rho^2 \right) \sin \theta. \end{aligned}$$

Здесь

$$\begin{aligned} d_1 &= -1, \quad d_2 = \frac{A_{22} + H_2}{H_1 - A_{44}}, \quad d_3 = \frac{A_{44}}{L} (B + 2H_3 t), \quad d_4 = \frac{A_{44}}{L} (B - 2H_3 t), \\ B &= M - 3A_{44}, \quad L = 2H_3^2 - A_{11} (A_{22} + H_2), \quad M = H_1 - H_4. \end{aligned}$$

Постоянные интегрирования при  $n = 0$  в равенствах (8) могут быть определены из граничных условий (4):

$$C_1^{(0)} = -2\rho_1^{2k} C_2^{(0)} = 2\rho_1^{2k} \frac{p\rho_2^{3/2+k}}{H_7\rho_1^{2k} + H_8\rho_2^{2k}},$$

$$H_7 = A_{11}(2k+1) - 4A_{12}, \quad H_8 = A_{11}(2k-1) + 4A_{12}.$$

Группа слагаемых с постоянными интегрирования  $C_1^{(1)}$ ,  $C_2^{(1)}$ ,  $C_3^{(1)}$  и  $C_4^{(1)}$ , соответствующая  $n = 1$ , отражает в общем решении (8) вклад массовых сил. Эти постоянные находятся из решения системы линейных алгебраических уравнений:

$$\begin{aligned} d_1 C_1^{(1)} + \frac{1}{\rho_1} d_2 C_2^{(1)} + d_3 C_3^{(1)} \rho_1^{-1/2+t} + d_4 C_4^{(1)} \rho_1^{-1/2-t} &= -H_\rho \rho_1^2, \\ C_1^{(1)} + \frac{1}{\rho_1} C_2^{(1)} + C_3^{(1)} \rho_1^{-1/2+t} + C_4^{(1)} \rho_1^{-1/2-t} &= -H_\theta \rho_1^2, \\ 4C_1^{(1)} A_{12} (d_1 + 1) \rho_2^{1/2+t} + H_{12} \rho_2^{-1/2+t} + H_9 \rho_2^{2t} + H_{11} &= -H_{10} \rho_2^{5/2+t}, \\ 2C_1^{(1)} (d_1 + 1) \rho_2^{1/2+t} + 2C_2^{(1)} (d_2 + 2) \rho_2^{-1/2+t} + C_3^{(1)} (2d_3 - 2t + 3) \rho_2^{2t} + \\ &+ C_4^{(1)} (2d_4 + 2t + 3) = 2(H_\theta - H_\rho) \rho_2^{5/2+t}, \end{aligned}$$

где

$$H_9 = C_3^{(1)} [4A_{12}(d_3 + 1) + A_{11}d_3(2t - 1)],$$

$$H_{10} = C_4^{(1)} [4A_{12}(d_4 + 1) - A_{11}d_4(2t + 1)],$$

$$H_{11} = 4[H_\rho(A_{11} + A_{12}) + H_\theta A_{12}], \quad H_{12} = 2C_2^{(1)} [2A_{12}(d_2 + 1) - A_{11}d_2],$$

и не приводятся из-за громоздкости их выражений.

Подставляя найденные выражения для перемещений (8) последовательно в геометрические (1) и определяющие (3) соотношения, получим компоненты тензоров деформации

$$\begin{aligned} \varepsilon_{\rho\rho} &= -\frac{1}{2} \left[ H_{13} + 2k \left( C_1^{(0)} \rho^{-3/2-k} - C_2^{(0)} \rho^{-3/2+k} \right) + H_{17} \cos \theta \right], \\ \varepsilon_{\varphi\varphi} &= \varepsilon_{\theta\theta} = H_{13} + H_{15} \cos \theta, \\ \gamma_{\rho\theta} &= [(5/2 - t)H_{16} - H_{15} - 2H_\theta \rho] \sin \theta \end{aligned} \quad (9)$$

и напряжений

$$\begin{aligned} \sigma_{\rho\rho} &= \frac{1}{2} \left\{ C_2^{(0)} H_8 \rho^{-3/2+k} - C_1^{(0)} H_7 \rho^{-3/2-k} + \right. \\ &\quad \left. + \left[ \frac{1}{\rho^2} H_{12} + (H_9 + H_{10}) \rho^{-3/2-t} + H_{11} \rho \right] \cos \theta \right\}, \\ \sigma_{\varphi\varphi} &= \sigma_{\theta\theta} = kA_{12} \left( C_2^{(0)} \rho^{1/2-k} - C_1^{(0)} \rho^{-3/2-k} \right) + \\ &\quad + \frac{1}{2} \left[ (2H_4 H_{14} - A_{12} H_{17}) \cos \theta - M \left( C_2^{(0)} \rho^{1/2-k} + C_1^{(0)} \rho^{-3/2-k} \right) \right], \\ \tau_{\rho\theta} &= A_{44} [(5/2 - t)H_{16} - H_{15} - 2H_\theta \rho] \sin \theta, \end{aligned} \quad (10)$$

при записи которых были использованы следующие обозначения:

$$\begin{aligned}
 H_{13} &= C_1^{(0)} \rho^{-3/2-k} + C_2^{(0)} \rho^{-3/2+k}, \\
 H_{14} &= \frac{1}{\rho^2} d_2 C_2^{(1)} + d_3 C_3^{(1)} \rho^{-3/2+t} + d_4 C_4^{(1)} \rho^{-3/2-t}, \\
 H_{15} &= H_{14} + \frac{1}{\rho^2} C_2^{(1)} + (H_\rho + H_\theta) \rho + H_{16}, \\
 H_{16} &= C_3^{(1)} \rho^{-3/2+t} + C_4^{(1)} \rho^{-3/2-t}, \\
 H_{17} &= \frac{2}{\rho^2} d_2 C_2^{(1)} + (1-2t) \left( d_3 C_3^{(1)} \rho^{-3/2+t} + d_4 C_4^{(1)} \rho^{-3/2-t} \right) - 4H_{\rho\rho}.
 \end{aligned}$$

В частном случае, когда при определении напряжённо-деформированного состояния можно пренебречь вкладом массовых сил, из полученных уравнений следует классическое аналитическое решение задачи Ламе для трансверсально-изотропной сферы [4]. Из этого решения для закрепленной по внутренней поверхности трансверсально-изотропной сферы со свободной от нагрузок внешней границей следует тривиальный результат: рассматриваемое тело находится в ненапряжённом состоянии.

**2. Тяжёлая изотропная сфера.** Из уравнений (8)–(10) может быть получено решение задачи о равновесии толстостенного тяжелого жёстко закрепленного по внутренней поверхности изотропного центрально-симметричного тела, находящегося под действием внешнего давления  $p$ . Действительно, осуществляя замену материальных констант  $\hat{E} = E$ ,  $\hat{\nu} = \nu$  и  $\hat{G} = G = E/[2(1+\nu)]$ , запишем выражения, определяющие распределение перемещений, следующим образом:

$$\begin{aligned}
 u_\rho &= \left[ \frac{1}{\rho} \left( d_2 C_2^{(1)} + \frac{2}{\rho^2} C_4^{(1)} \right) - C_1^{(1)} + \left( d_3 C_3^{(1)} + H_\rho \right) \rho^2 \right] \cos \theta + \\
 &\quad + C_2^{(0)} \rho + \frac{1}{\rho^2} C_1^{(0)}, \quad (11) \\
 u_\theta &= \left[ C_1^{(1)} + \frac{1}{\rho} \left( C_2^{(1)} + \frac{1}{\rho^2} C_4^{(1)} \right) + \left( C_3^{(1)} + H_\theta \right) \rho^2 \right] \sin \theta.
 \end{aligned}$$

Обратим внимание на то, что соотношения (11) следуют, как частный случай, из равенств (8) при подстановке в последние показателей анизотропии  $k = 3/2$ ,  $t = 5/2$  и коэффициентов  $d_1 = -1$ ,  $d_4 = 2$ . Постоянные интегрирования при  $n = 0$  и  $n = 1$ :

$$C_1^{(0)} = -p \rho_1^3 C_2^{(0)} = \rho_1^3 \rho_2^3 \frac{p(1-\nu-2\nu^2)}{E [2(1-2\nu)\rho_1^3 + (1+\nu)\rho_2^3]},$$

$$\begin{aligned}
 C_1^{(1)} &= \frac{\gamma(\nu+1)}{3NP\rho_1} \left\{ 2 [9\rho_1^8 (2\nu^2 - 3\nu + 1) - \rho_2^8 (6\nu^2 + \nu - 5)] - \right. \\
 &\quad \left. - \rho_1^3 \rho_2^3 [\rho_2^2 (6\nu^2 + \nu - 2) + 9\rho_1^2 (8\nu^2 - 12\nu + 5)] \right\},
 \end{aligned}$$

$$C_2^{(1)} = -\rho_2^3 \frac{\gamma}{N} (4\nu^2 + \nu - 3), \quad N = 6E(\nu - 1), \quad P = 2(3\nu - 2)\rho_1^5 - (\nu + 1)\rho_2^5,$$

$$C_3^{(1)} = \frac{\gamma(2\nu - 3)}{NP} [2\rho_1^5(3\nu^2 - 4\nu + 1) - (1 + \nu)(\nu\rho_2^2 + \rho_1^2)\rho_2^3],$$

$$C_4^{(1)} = \rho_1^2 \rho_2^5 \frac{\gamma(1 + \nu)}{3NP} [2\rho_1^3(2\nu - 1) - \rho_2^3(1 + \nu)],$$

а также множители

$$H_\rho = \frac{\gamma(1 - \nu)}{3E}, \quad H_\theta = -\frac{2\gamma\nu}{3E}, \quad d_2 = \frac{4(1 - \nu)}{4\nu - 3}, \quad d_3 = \frac{4\nu - 1}{2\nu - 3},$$

входящие в (11), значительно упрощаются.

Деформации и напряжения в точках, отстоящих от центра симметрии сферы на расстояние  $\rho$ , вычисляются при помощи следующих соотношений:

$$\begin{aligned} \varepsilon_{\rho\rho} &= H_{20} - (H_{18} - 2H_{19}) \cos \theta, \\ \varepsilon_{\varphi\varphi} &= \varepsilon_{\theta\theta} = H_{21} + \left[ H_{18} + H_{19} + H_{22} + \frac{1}{\rho^2} \left( C_2^{(1)} - \frac{3}{\rho^2} C_4^{(1)} \right) \right] \cos \theta, \\ \gamma_{\rho\theta} &= - \left( H_{18} + H_{19} - H_{22} + \frac{2}{\rho^2} C_2^{(1)} \right) \sin \theta, \\ \sigma_{\rho\rho} &= \frac{E}{(1 + \nu)(1 - 2\nu)} \left[ H_{20} + \nu \left( \frac{3}{\rho^3} C_1^{(0)} + H_{21} \right) \right] + \\ &\quad + \frac{E}{(1 + \nu)(1 - 2\nu)} \left\{ 2[H_{19} + \nu(H_{22} + H_{23})] + (3\nu - 1)H_{18} \right\} \cos \theta, \\ \sigma_{\varphi\varphi} &= \sigma_{\theta\theta} = \frac{E}{(1 + \nu)(1 - 2\nu)} (H_{21} + \nu H_{20}) + \\ &\quad + \frac{E}{(1 + \nu)(1 - 2\nu)} [(1 - \nu)H_{18} + (1 + 2\nu)H_{19} + H_{22} + H_{23}] \cos \theta, \\ \tau_{\rho\theta} &= -\frac{E}{2(1 + \nu)} \left( H_{18} + H_{19} - H_{22} + \frac{2}{\rho^2} C_2^{(1)} \right) \sin \theta. \end{aligned}$$

Здесь

$$\begin{aligned} H_{18} &= \frac{2}{\rho^2} \left[ \frac{2(1 - \nu)}{4\nu - 3} C_2^{(1)} + \frac{3}{\rho^2} C_4^{(1)} \right], \quad H_{19} = \left( \frac{4\nu - 1}{2\nu - 3} C_3^{(1)} + H_\rho \right) \rho, \\ H_{20} &= C_2^{(0)} - \frac{2}{\rho^3} C_1^{(0)}, \quad H_{21} = C_2^{(0)} + \frac{1}{\rho^3} C_1^{(0)}, \quad H_{22} = \left( C_3^{(1)} + H_\theta \right) \rho, \\ H_{23} &= \frac{1}{\rho^2} \left( C_2^{(1)} - \frac{3}{\rho^2} C_4^{(1)} \right). \end{aligned}$$

**3. Оценка начальной прочности тяжёлой железобетонной сферы.** В качестве примера, используя полученные выражения (10), проанализируем вклад массовых сил в напряженное состояние анизотропной толстостенной тяжёлой сферы. В работе [5] были введены независимые величины

$$J_\sigma^I = \sigma_{\theta\theta}, \quad J_\sigma^{II} = \sigma_{\rho\rho}, \quad J_\sigma^{III} = \sqrt{(\sigma_{\varphi\varphi} - \sigma_{\theta\theta})^2 + 4\tau_{\varphi\theta}^2}, \quad J_\sigma^{IV} = \sqrt{\tau_{\varphi\rho}^2 + \tau_{\theta\rho}^2},$$

инвариантные относительно ортогональных преобразований, допустимых над сферически трансверсально-изотропным однородным телом, которые могут быть применены для описания различных механизмов разрушения (от растяжения или сжатия в окружном и радиальном направлениях, от сдвигов по поверхности изотропии и в диаметральной плоскости соответственно) и оценки начальной прочности по совокупности критериев [6].

На рис. 1 показано распределение приведенных к безразмерному виду инвариантов тензора напряжений  $\hat{J}_\sigma^N = J_\sigma^N / (\gamma r)$  вдоль меридиональной и обезразмеренной радиальной координаты  $\hat{\rho} = (\rho - \rho_1) / (\rho_2 - \rho_1)$  в тяжёлой железобетонной сфере ( $\gamma = 40,0 \text{ кН/м}^3$ ) со свободной от нагрузок внешней ( $p = 0$ ) и жёстко закреплённой внутренней поверхностью. Параметры геометрии тела и упругие постоянные железобетона были выбраны следующими:  $\delta = \rho_1 / \rho_2 = 0,5$ ;  $E = 40,0 \text{ ГПа}$ ,  $\hat{E} = 25,0 \text{ ГПа}$ ,  $\hat{G} = 11,0 \text{ ГПа}$ ,  $\nu = 0,075$  и  $\hat{\nu} = 0,15$ .

Как видим, на внешней, свободной от нагрузок поверхности тяжёлого железобетонного центрально-симметричного тела ненулевым является только первый инвариант  $\hat{J}_\sigma^I$ , который в верхней полусфере всюду возрастает вдоль  $\hat{\rho}$ , а в нижней – всюду убывает, принимая нулевое значение при  $\hat{\rho} = 0,11$ . Наибольшие по абсолютной величине значения  $\hat{J}_\sigma^I$  принимает в точках, лежащих на вертикальной оси, проходящей через геометрический центр. Для верхней полусферы эти точки являются наиболее опасными из-за возможности по-

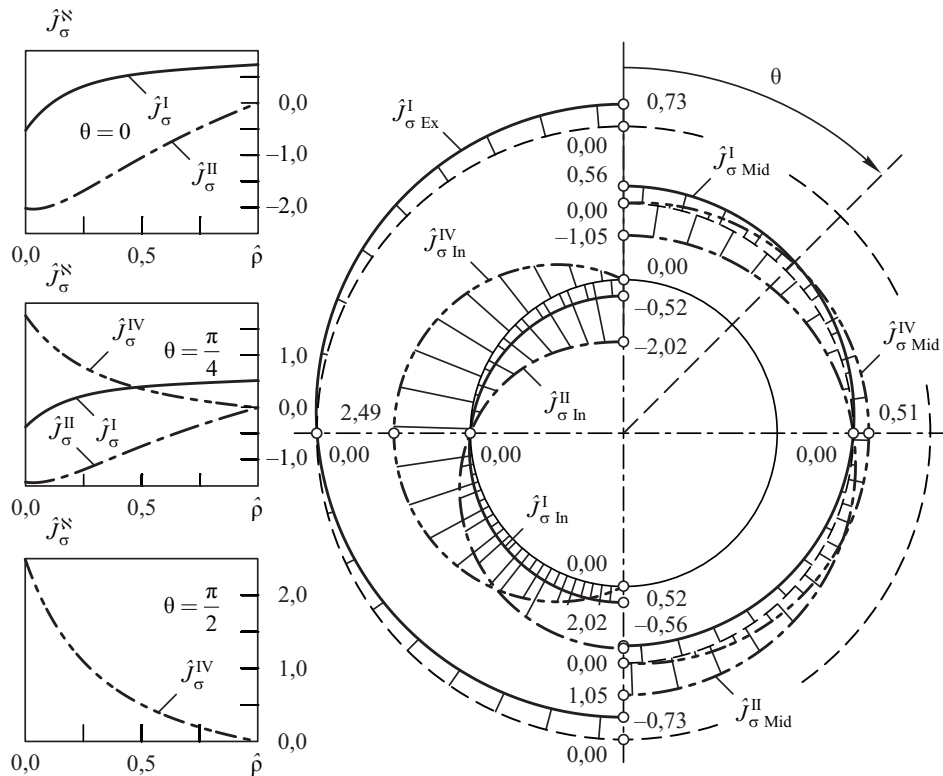


Рис. 1. Распределение обезразмеренных инвариантов тензора напряжений на закреплённой внутренней ( $\hat{J}_{In}^N$ ), свободной от нагрузок внешней ( $\hat{J}_{Ex}^N$ ) и серединной ( $\hat{J}_{Mid}^N$ ) поверхностях железобетонной сферы

тери способности сопротивляться растяжению (при  $\hat{\rho} < 0,11$ ) или сжатию (при  $0,11 < \hat{\rho} \leq 1$ ) в окружном и меридиональном направлении, для нижней полусферы — сжатию (при  $\hat{\rho} < 0,11$ ) или растяжению (при  $0,11 < \hat{\rho} \leq 1$ ) соответственно. Второй инвариант  $\hat{J}_\sigma^{II}$  нелинейно распределен вдоль радиальной координаты, имеет при  $\hat{\rho} = 0,03$  локальный минимум в верхней и локальный максимум в нижней полусферах соответственно. Обратим внимание на то, что начало разрушения верхней полусферы от сжатия, а нижней — от растяжения в радиальном направлении возможно в точках, принадлежащих вертикальной центральной оси.

Третий инвариант  $\hat{J}_\sigma^{III}$  во всех точках принимает нулевые значения. Последнее связано с тем, что  $\tau_{\varphi\theta} \equiv 0$ , а при  $n = 0$  и  $n = 1$  имеет место равенство окружных и меридиональных напряжений  $\sigma_{\varphi\varphi} = \sigma_{\theta\theta}$ . Следовательно, механизмы разрушения от сдвига по поверхности изотропии для рассматриваемых условий нагружения тяжелой сферы и деформационных свойств материала не реализуются. Четвертый инвариант  $\hat{J}_\sigma^{IV}$  равен нулю в точках, расположенных на вертикальной оси и возрастает по мере увеличения угла  $\theta$ , достигая своих максимальных значений при  $\theta = \pi/2$ . Вместе с тем при изменении радиальной координаты от внутренней закрепленной границы бетонной сферы к внешней  $\hat{J}_\sigma^{IV}$  всюду убывает до нулевых значений на свободной поверхности.

На рис. 2 проиллюстрировано влияние толщины сферы  $\delta = \rho_1/\rho_2$  на характер распределения ненулевых инвариантов тензора напряжений вдоль радиальной координаты  $\hat{\rho}$ , показавшее, что с ростом  $\delta$  увеличивается наклон кривых и возрастают (по абсолютной величине) значения  $\hat{J}_\sigma^{\text{н}}$  в точках закрепления. Кроме того, точка, в которой происходит смена знака первого инварианта  $\hat{J}_\sigma^I$ , при увеличении толщины железобетонной сферы смещается к внутренней закрепленной поверхности.

**Заключение.** Таким образом, на основе полученного нового точного аналитического решения задачи о равновесии находящегося под действием внешне-

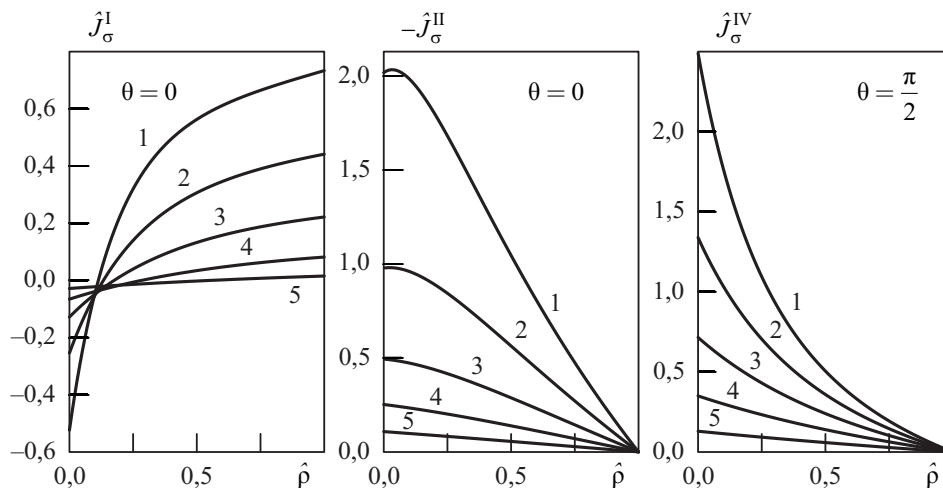


Рис. 2. Распределение  $\hat{J}_\sigma^{\text{н}}$  в характерных сечениях толстостенной железобетонной сферы: 1 -  $\delta = 0,5$ , 2 -  $\delta = 0,6$ , 3 -  $\delta = 0,7$ , 4 -  $\delta = 0,8$ , 5 -  $\delta = 0,9$

го равномерного давления тяжёлого трансверсально-изотропного центрально-симметричного тела с жёстко закрепленной внутренней поверхностью проанализирован вклад массовых сил в напряженное состояние, исследовано влияние геометрии, проведена оценка начальной прочности монолитной железобетонной сферы.

Авторы признательны профессору И. Н. Шардакову за обсуждение полученных результатов. Работа выполнена при поддержке РФФИ (проект РФФИ-Урал № 07-01-96056-а).

#### БИБЛИОГРАФИЧЕСКИЙ СПИСОК

1. Кожеевникова Л. Л., Кузнецов Г. Б., Матвеевко В. П., Шардаков И. Н. Аналитическое исследование упругого равновесия полый сферы, жёстко закрепленной по внешнему контуру // *Пробл. прочности*, 1974. — № 9. — С. 20–23.
2. Кузнецов Г. Б. Упругость, вязкоупругость и длительная прочность цилиндрических и сферических тел. — М.: Наука, 1979. — 112 с.
3. Кожеевникова Л. Л., Кузнецов Г. Б., Роговой А. А. Равновесие тел вращения под действием массовых сил. — М.: Наука, 1983. — 102 с.
4. Лехницкий С. Г. Теория упругости анизотропного тела. — М.: Наука, 1977. — 416 с.
5. Победра Б. Е. Механика композиционных материалов. — М.: МГУ, 1984. — 336 с.
6. Вильдеман В. Э., Соколкин Ю. В., Ташкинов А. А. Механика неупругого деформирования и разрушения композиционных материалов. — М.: Наука, 1997. — 288 с.

Поступила в редакцию 16/V/2010;  
в окончательном варианте — 18/VIII/2010.

MSC: 74B05, 74G05

### ELASTIC EQUILIBRIUM STATE OF THICK-WALLED HEAVY TRANSVERSALLY-ISOTROPIC SPHERES FIXED ON THE INTERIOR SURFACE

*A. V. Zaitsev, A. A. Fukalov*

Perm State Technical University (National Research University)  
29, Komsomolskiy pr., Perm, 614990, Russia.

E-mails: zav@pstu.ru

*Using decomposition of hoop and radial components of displacement vector to the trigonometrical and generalized power series, the new precise analytical solution to problem on equilibrium state of thick-walled heavy transversally-isotropic central-symmetric body, which is fixed on the interior surface and is subject to the action of uniform external lateral pressure, is obtained. This can set a pattern for precise solutions in particular cases of the relations for displacements, stresses and strains at the points inside thick-walled heavy isotropic sphere, the interior surface of which is fixed, while the exterior one being under the uniform pressure. The estimation of an initial strength of solid-cast reinforced concrete sphere is carried out on the basis of a multicriteria approach taking into account real damage mechanisms (i.e. damage from tension or compression in radial, hoop and axial directions, and from transversal and antiplane shear) of anisotropic central-symmetric bodies.*

**Key words:** *thick-walled heavy transversally-isotropic, exact analytical solutions, multicriteria estimation of an initial strength.*

Original article submitted 16/V/2010;  
revision submitted 18/VIII/2010.

*Alexey V. Zaitsev* (Ph. D. (Phys. & Math.)), Doctoral Candidate, Dept. of Mechanics of Composite Materials & Structures. *Anton A. Fukalov*, Master Student, Dept. of Mechanics of Composite Materials & Structures.